

東海大学工学部

正会員 宇都一馬

正会員 冬木衛

正会員 近藤博

学生員 ○西澤芳章

1. まえがき 筆者らは、これまでに標準貫入試験(SPT)におけるロッドの貫入機構に関する一連の基礎研究を行ってきた。今回は大型貫入試験(ここでいう大型貫入試験とは文献2)で紹介されたもの。No値)と、SPT(N値)を同一地盤において行ない、従来の解析手法の妥当性、N値とNo値の比較、動的貫入試験法の基本的問題などについて検討したので報告する。尚、計測、解析、理論等は今までのものと同一である。<sup>1) 3) 4) 5) 6)</sup>

## 2. 大型貫入試験 大型貫入

試験は、100kgのハンマーを150cmから自由落下させて所定のサンプラーを30cm地盤に貫入させるとときの打撃回数No値を測定するもので、原理的には、SPTと同種の動的サウンディング法である。

硬い地盤のサウンディングに適して

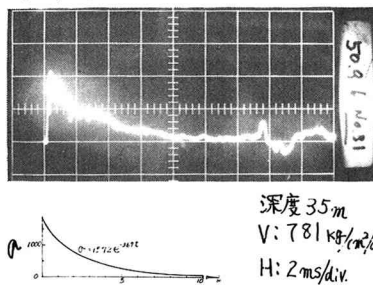


図-1 標準貫入試験

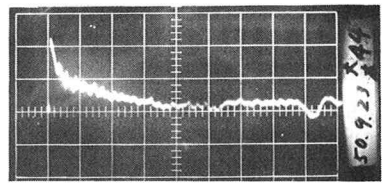


図-2 大型貫入試験

いるといわれている。SPTと異なる点は打撃エネルギー、使用ロッドおよびサンプラーの形状である。図-1, 2はそれぞれ、SPTおよび大型貫入試験の打撃応力波形で、ロッド上端に貼ったストレインゲージによって観測したもので、St. Venant解による理論応力を、よく一致することがわかる。表-1, 2は両試験法の諸元、St-Venant解を用いる場合の基本的な諸定数等を示した。

3. 結果の検討 図-3は、実験地点の土質柱状図で、5m離れた位置で実施された両試験の結果と、同時にとりえられた応力波形(サンプラー上端から50cm上方)を示してある。これより、地盤の硬さの違いにより応力波形に相違がみられる。

3-1. 解析例 図-4, 5は深度47mの細砂で行なった両試験法の解析結果を示したもので、解析方法は従来と同じである。<sup>4) 5) 6)</sup>

実測値からSt.Venant解をもとに計算した、貫入指数の諸量を累計貫入量に対してプロットしてある。ここで、○印は打撃回数n、X印はハンマーのリバウンド時間t<sub>2</sub>(ハンマーが所定の高さから落してきてノックングヘッドに最初に衝突してからハンマーガリバウンドし、2回目にノックングヘッドに衝突するまでの時間)、△印は反射係数n、□印はハンマーのリバウンド高さH<sub>R</sub>(ノックングヘッド上端からハンマーが落してきて1回目の衝突のあとハンマーのリバウンドする最高点までの距離)に対応する。同一地盤でも打撃回数に差が

標準貫入試験と大型貫入	
重量	635kg 100kg
ハンマー落下高	0.75m 150m
外径	405mm 60mm
ロッド内径	23mm 48mm
内径	87.5mm 12mm
長さ	810mm 740mm
サンプラー最大外径	51mm 49mm
内径	35mm 54mm
貫入深度	8mm 95mm

標準貫入試験と大型貫入	
W <sub>1</sub> :ハンマーの質量	635kg 100kg
H:ハンマーの落下高	0.75m 150m
V:ハンマーの衝突速度	333m/s 542m/s
t <sub>2</sub> :ロッドの飛出時間	0.7ms 0.1ms
A:ロッドの断面積	5.8cm <sup>2</sup> 1.2cm <sup>2</sup>
E:ロッドの材料弹性率	2.1×10 <sup>10</sup> N/mm <sup>2</sup>
I:ハンマーの断面積	7.83×10 <sup>-5</sup> mm <sup>4</sup>
C:ハンマー内部弹性波速	512m/s
M: A/t <sub>2</sub> :質量比	3.0711 1.3302
n <sub>0</sub> :E/t <sub>2</sub> :変位	1.374m 1.322m
n: E/t <sub>2</sub> :応力	1571kgf 2223kgf
U <sub>1</sub> :W <sub>1</sub> :エネルギー	4763J/kg 15,000J/kg
t <sub>1</sub> :2ms:初期	0.9ms:初期

表-1

表-2

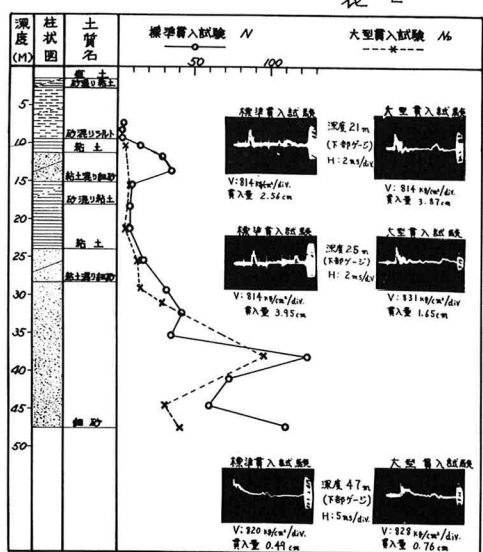


図-3 土質柱状図

生じ、 $N$ 値は $N_0$ 値の約1/2.5となる。

この傾向は $t_2$ ,  $H_R$ にも明瞭に差が生じている。図-5において、貫入量17cm以内において点が並いるのは2回目の衝突がみられなかったためであり、このとき1打撃の貫入量はほぼ1cmであった。これは、貫入量約1cmを境にして、貫入機構の違いが表われることを意味する。

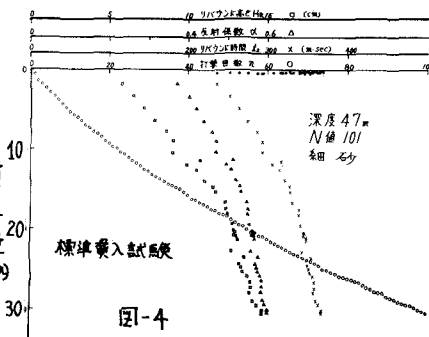


図-4

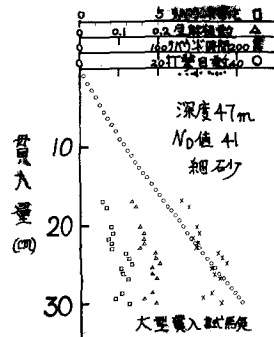


図-5

### 3-2

貫入量

とりべ

ウンド 貫

時間の 入

関係

(cm)

図-6,7

は両試

験結果

の全デ

ーター

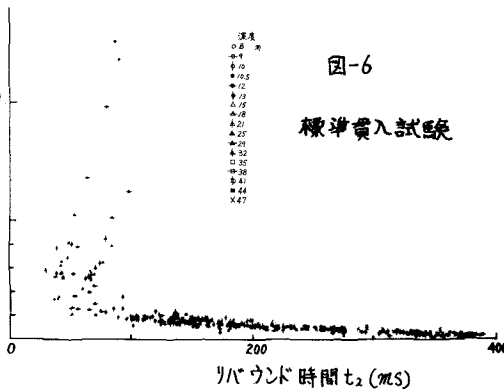


図-6

標準貫入試験

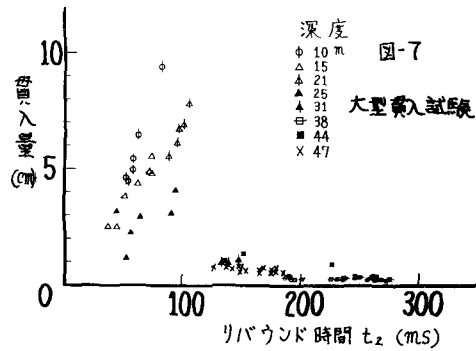


図-7

大型貫入試験

をそれぞれプロットしたので、地盤の硬さによって、ロッドの貫入状態の相違が明確に表われている。SPTで貫入量約1cm以下( $N$ 値30以上), 大型貫入試験で貫入量約1.3cm以下( $N$ 値23以上)のとき、 $N$ 値や $N_0$ 値で地盤定数を判定するに有意でない。

3-3  $N$ 値と $N_0$ 値との関係 図-8は、今回行った実験結果および過去に実施された比較試験の結果をプロットしたものである。この図より $N$ 値と $N_0$ 値の差は、硬い地盤ほど大きくなる傾向にある。このことは試験法の相違によって、地盤の強度や变形などの特性を表現する割合が異なるからである。

4.まとめ 以上のことが得られた結果を列記すると、次のようにある。(1)大型貫入試験は標準貫入試験と同様に、St.Venant解の一般解が適用できる。(2)硬い地盤ほど、 $N$ 値と $N_0$ 値の差は大きくなる。(3)硬い地盤( $N$ 値30以上, $N_0$ 値23以上)では、ハンマーのリバウンド高さ $H_R$ が、ロッドの貫入量( $N$ 値, $N_0$ 値)よりも、有意な地盤定数を示す指標になりうることがわかった。(4)軟らかい地盤(1回の貫入量が、標準貫入試験で約1cm以上( $N$ 値30以下), 大型貫入試験で約1.3cm以上( $N_0$ 値23以下)のとき)では、従来から用いられているロッドの貫入量( $N$ 値, $N_0$ 値)の方が、地盤定数を示す指標として適当であると思われる。

最後に、現場実験の実施に当って、川崎地質KK, 佐藤允氏, 池田瑞夫氏はじめ関係者の皆様に絶大な御協力、御支援を頂きました。ここに記して深く感謝の意を表します。

参考文献 1)宇都冬木;講座「 $N$ 値を考える」3.標準貫入試験の機構(その1), 土と基礎, 27-2, (1974). 2)貝戸・阪口・西澤・三木;大型貫入試験, 土と基礎, 19-7 (1971). 3)宇都冬木・近藤・松村;ロッド長を考慮した $N$ 値と地盤特性に関する二、三の考察, 第1回関東支部年次研究発表会, 土木学会, 1974-5.4)宇都・冬木・近藤・松村;ロッドの地盤への動的貫入機構よりみた動的貫入試験の地盤, 第10回土質工学研究発表会, 1975-6. 5)宇都・冬木・近藤・池田;標準貫入試験に関する基礎的研究(1), 第11回, 同上, 1976-6. 6)宇都・池田・西澤;標準貫入試験におけるハンマーのリバウンド量の利用について, 第31回年次研究発表会, 土木学会, 1976-10.

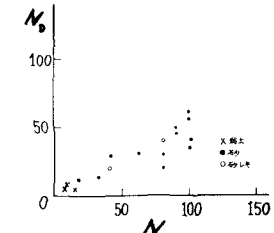


図-8